

Evaluation Technique Européenne

Système d'injection VMU Plus MKT pour ancrage dans le béton

valable pour

Ancrage d'injection XV Plus

Ce document de la société MÜPRO n'est fourni qu'à titre informatif et n'est pas soumis à la mise à jour. La totalité du contenu ne doit être utilisée à des fins de publicité ou d'autres fins qu'après approbation de la société MÜPRO. Tous droits et modifications réservés.





Zulassungsstelle für Bauprodukte und Bauarten

Bautechnisches Prüfamt

Eine vom Bund und den Ländern gemeinsam getragene Anstalt des öffentlichen Rechts



Evaluation Technique Européenne

ETA -11/0415 du 13 novembre 2015

Partie générale

Organisme d'évaluation technique qui délivre l'Évaluation Technique Européenne

Nom commercial du produit de construction

Famille de produit à laquelle le produit de construction appartient

Fabricant

Établissement de production

Cette Évaluation Technique Européenne comprend

Cette Évaluation Technique Européenne est délivrée conformément au règlement (UE) n° 305/2011 sur la base de

Deutsches Institut fur Bautechnik

Système d'injection VMU Plus pour béton

Cheville à scellement pour ancrage dans le béton

MKT

Metall-Kunststoff-Technik GmbH & Co. KG Auf dem Immel 2 67685 Weilerbach ALLEMAGNE

MKT

Metall-Kunststoff-Technik GmbH & Co. KG Auf dem Immel 2 67685 Weilerbach ALLEMAGNE

24 pages dont 3 annexes faisant partie intégrante de cette évaluation.

Guide d'Agrément Technique Européen relatif aux chevilles métalliques pour béton « ETAG 001 Partie 5 : « Cheville à scellement », avril 2013, utilisé comme document d'évaluation européen (EAD) conformément à l'article 66 paragraphe 3 du règlement (UE) N° 305/2011.

Z82660.15



Évaluation Technique Européenne

ETA-11/0415

Page 2 sur 24 | 13 novembre 2015

L'évaluation technique européenne est délivrée par l'organisme d'évaluation technique dans sa langue officielle. Les traductions de cette évaluation technique européenne dans d'autres langues doivent se conformer pleinement à l'original et doivent être marquées en tant que tel.

Seule est autorisée la reproduction intégrale de la présente évaluation technique européenne, y compris par voie électronique. Une reproduction partielle ne peut être faite qu'avec le consentement écrit de l'organisme d'évaluation technique émetteur. Chaque reproduction partielle doit être désignée comme telle.

L'organisme d'évaluation technique émetteur peut révoquer la présente évaluation technique européenne, notamment après avoir informé la commission conf. à l'article 25 paragraphe 3 du règlement (UE) N° 305/2011.

Z82660.15 8.06.01-496/15



Évaluation Technique Européenne

ETA -11/0415

Page 3 sur 24 | 13 novembre 2015

Partie spéciale

1 Description technique du produit

Le « système d'injection VMU Plus pour béton » est une cheville à scellement constituée d'une cartouche de mortier avec du mortier d'injection VMU plus ou VMU plus Polar et d'un élément en acier. L'élément en acier est une tige filetée usuelle dans les tailles M8 à M30 ou un acier à béton dans les tailles de 8 à 32 mm.

L'élément en acier est placé dans un trou de forage rempli avec du mortier d'injection, et est ancré par scellement entre l'élément en acier, le mortier d'injection et le béton.

Le produit et la description du produit sont représentés à l'annexe A.

2 Spécification de l'usage prévu conformément au document d'évaluation européen applicable

Les performances de la section 3 ne peuvent être assurées que si la cheville est utilisée conformément aux informations et dans les conditions aux limites selon l'annexe B.

Les méthodes d'essai et d'évaluation à la base de cette évaluation technique européenne mènent essentiellement à l'adoption d'une durée d'utilisation de la cheville de 50 ans. L'indication de la durée d'utilisation ne peut pas être comprise comme une garantie du fabricant, mais est simplement un moyen pour sélectionner le bon produit en fonction de la durée d'utilisation économiquement raisonnable de la construction.

3 Performance du produit et détails sur les méthodes de leur évaluation

3.1 Résistance mécanique et stabilité (BWR 1)

Caractéristique essentielle	Performances
Valeurs caractéristiques en cas de contraintes de traction et de cisaillement	Voir annexe C 1 à C 8
Déplacements sous contrainte de traction et de cisaillement	Voir annexe C 9 / C 10

3.2 Protection contre les incendies (BWR 2)

Caractéristique essentielle	Performances
Comportement au feu	La cheville est conforme aux exigences de la classe A1
Résistance au feu	Pas de performance déterminée

3.3 Hygiène, santé et protection de l'environnement (BWR 3)

En ce qui concerne les substances dangereuses, les produits visés par la présente évaluation technique européenne peuvent être soumis à d'autres exigences (par ex. la législation européenne transposée et les dispositions administratives et législatives nationales). Pour se conformer aux dispositions du règlement (UE) no. 305/2011, ces exigences doivent également être satisfaites le cas échéant.

3.4 Sécurité dans l'utilisation (BWR 4)

Pour l'exigence de base en matière de sûreté d'utilisation, les mêmes exigences que pour l'exigence de résistance de base en matière de résistance mécanique et de stabilité sont applicables.

Z82660.15 8.06.01-496/15



Évaluation Technique Européenne ETA-11I0415

Page 4 sur 24 | 13 novembre 2015

Système d'évaluation de la performance et de vérification de sa constance appliqué, en référence à sa base juridique :

Conformément au Guide d'Agrément Technique Européen ETAG 001, avril 2013, utilisé comme document d'évaluation européen (EAD) conformément à l'article 66 paragraphe 3 du règlement (UE) N° 305/2011, la base juridique suivante s'applique : [96/562/EG].

Le système suivant doit être appliqué : 1

Pour la mise en œuvre du système d'évaluation et de vérification de la constance des performances détails techniques nécessaires conformément au document d'évaluation européen applicable.

Les détails techniques nécessaires à la mise en œuvre du système d'évaluation et de vérification de la constance des performances sont nécessaires, font partie du plan de contrôle déposé auprès du Centre Scientifique et Technique du Bâtiment.

Délivré à Berlin le 13 novembre 2015 par l'Institut Allemand de Technique de Construction

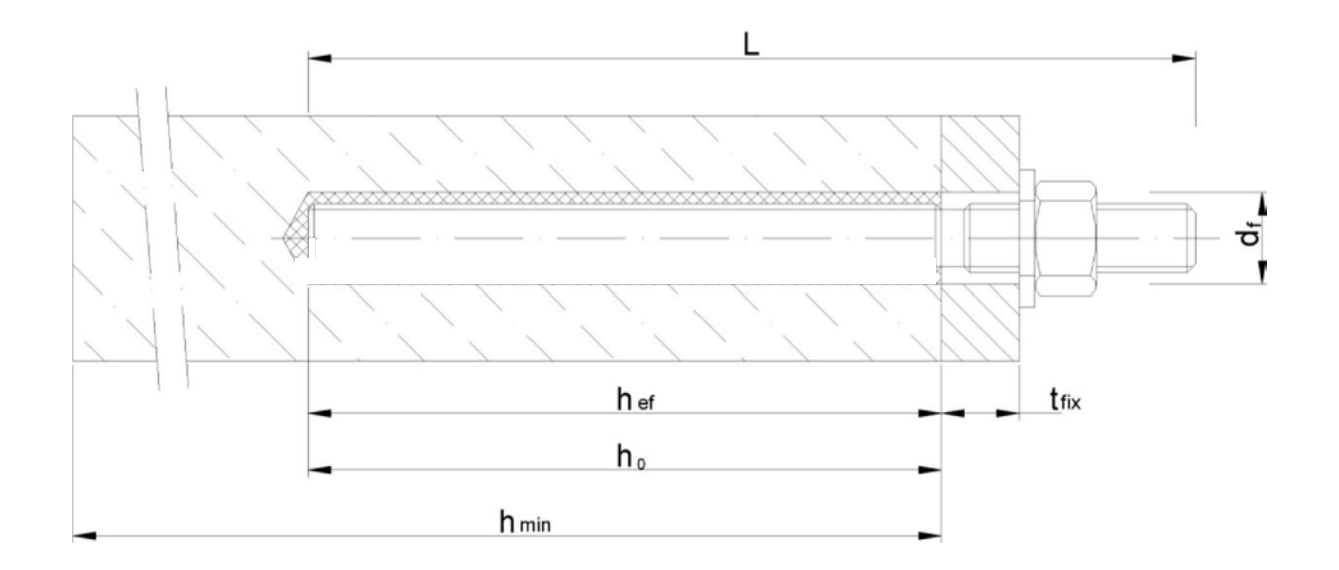
Uwe Bender Chef de section Certifié



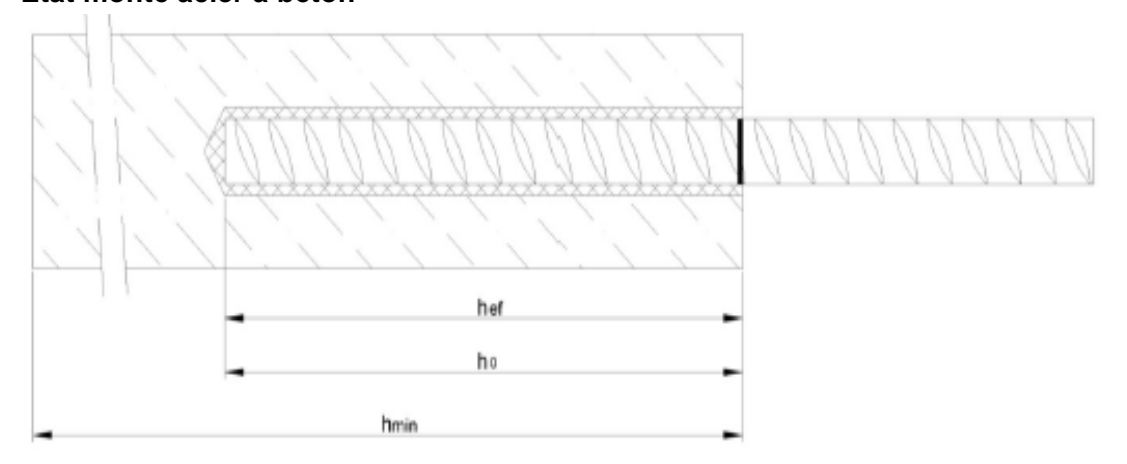
Z82669.15 6.06.01 **-496/15**



État monté tige d'ancrage



État monté acier à béton



d_f = trou traversant dans le composant à raccorder

 t_{fix} = épaisseur du composant

h_{ef}= profondeur d'ancrage effective

 h_0 = profondeur du trou

h_{min} = épaisseur minimale du composant

Système d'injection VMU plus pour béton

Description du produit

Etat monté

Annexe A1



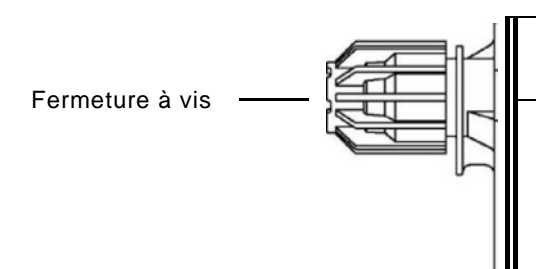
Cartouche VMU plus ou VMU plus Polar

Cartouche 150 ml, 280 ml, 300 ml à 333 ml et 380 ml à 420 ml (Type : coaxial)

Fermeture à vis

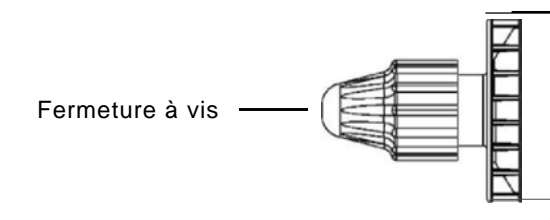
Impression: VMU plus ou VMU plus Polar. Instructions de traitement, numéro de lot, durée de conservation, numéros d'identification des dangers, temps de durcissement et temps de traitement (selon la température), à la fois avec et sans échelle de course du piston

Cartouche 235 ml, 345 ml à 360 ml et 825 ml (Type : « ride-by-side »)



Impression: VMU plus ou VMU plus Polar. Instructions de traitement, numéro de lot, durée de conservation, numéros d'identification des dangers, temps de durcissement et temps de traitement (selon la température), à la fois avec et sans échelle de course du piston

Cartouche 65 ml et 300 ml (Type : « Film tubulaire »)



Impression: VMU plus ou VMU plus Polar. Instructions de traitement, numéro de lot, durée de conservation, numéros d'identification des dangers, temps de durcissement et temps de traitement (selon la température), à la fois avec et sans échelle de course du piston

Mélangeur statique



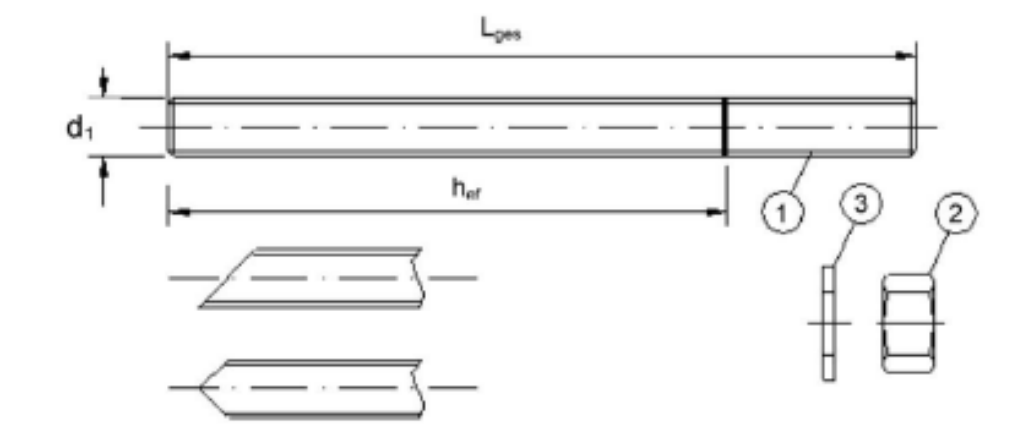
Système d'injection VMU plus pour béton

Description du produit Système d'injection Annexe A2



Tige d'ancrage M8, M10, M12, M16, M20, M24, M27, M30 avec rondelle et écrou à six pans

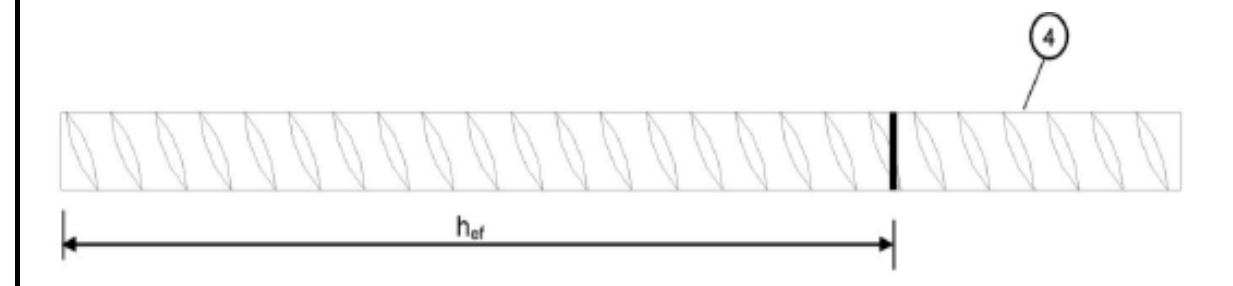




Tige filetée usuelle avec :

- Matériau, dimensions et propriétés mécaniques conformément au tableau A1
- Certificat de réception 3.1 selon EN 10204:2004
- Marquage de la profondeur d'ancrage

Acier à béton Ø8, Ø 10, Ø12, Ø14, Ø16, Ø20, Ø25, Ø28, Ø32



- Les valeurs minimales des surfaces de nervure connexes f_{R,min} selon EN 1992-1-1:2004+AC:2010
- La hauteur nervures doit être de 0,05d ≤ h ≤ 0,07
 (d : diamètre nominal de la baguette ; h : hauteur des nervures de la barre)

Système d'injection VMU plus pour béton

Description du produit

Tige d'ancrage et acier à béton

Annexe A3



Pièc	Désignation	Matériau	
		inguées ≥ 5 μm selon EN ISO 4042:1999 ou 1:2009 et EN ISO 10684:2004+AC:2009	
1	Tige d'ancrage	Acier selon EN 10087:1998 ou EN 10263:2001 Classe de résistance 4.6, 4.8, 5.8, 8.8 selon EN 199 +AC:2009 $A_5 > 8\%$ allongement à la rupture	33-1-8:2005
2	Ecrou à six pans	Acier selon EN 10087:1998 ou EN 10263:2001 Classe de résistance 4 (pour tiges d'ancrage de la c Classe de résistance 5 (pour tiges d'ancrage de la c Classe de résistance 8 (pour tiges d'ancrage de la c selon EN ISO 898-2:2012	classe 5.8)
3	Rondelle, EN ISO 887:2006, EN ISO 7089:2000, EN ISO 7093:2000 ou EN ISO 7094:2000	Acier, galvanisé électro-zingué ou galvanisé	
Pièce	es métalliques en acier inoxydab	le	
1	Tige d'ancrage	Matériau 1.4401 / 1.4404 / 1.4571 / 1.4362, E > M24 : Classe de résistance 50 EN ISO 350 Classe de résistance 70 EN ISO 3506-1:2009 allongement à la rupture	6-1:2009 ≤ M24:
2	Ecrou à six pans	Matériau 1.4401 / 1.4404 / 1.4571 / 1.4362, EN 100 >M24 : Classe de résistance 50 (pour tiges d'ancraç ≤M24 : Classe de résistance 70 (pour tiges d'ancraç selon EN ISO 3506-2:2009	ge de la classe 50)
3	Rondelle, EN ISO 887:2006, EN ISO 7089:2000, EN ISO 7093:2000 ou EN ISO 7094:2000	Matériau 1.4401, 1.4404, 1.4571 ou 1.4362 selon EN 10088-1:2005	
Pièce	es métalliques en acier hautemer	nt résistant à la corrosion	
1	Tige d'ancrage	Matériau 1.4529 / 1.4565, EN 10088-1:2005, > M24 : Classe de résistance 50 EN ISO 3506-1:2009 <m24: 3506-1:2009="" 70="" as="" classe="" de="" en="" iso="" résistance=""> 8% allongement à la rupture</m24:>	
2	Ecrou à six pans	Matériau 1.4529 / 1.4565, EN 10088-1:2005, > M24 : Classe de résistance 50 (pour tiges d'ancra classe 50) ≤M24 : Classe de résistance 70 (pour tiges d'ancrag	
3	Rondelle, EN ISO 887:2006, EN ISO 7089:2000, EN 150 7093:2000 ou EN 150 7094:2000	Matériau 1.4529 / 1.4565 selon EN 10088-1:2005	
Acie	r à béton		
4	Acier à béton selon EN 1992-1-1:2004+AC:2010, Annexe C	Les barres et barres d'armature de la bague Classe selon NDP ou NCL selon EN 1992-1-1/NA:2013 f _{uk} :	•
Syst	tème d'injection VMU plus p	oour béton	
	•		1



Spécification de l'usage prévu

Sollicitation de l'ancrage :

- Charges statiques ou quasi-statiques : M8 à M30, acier à béton Ø8 à Ø32.
- Action sismique pour catégorie C1 : M8 à M30, acier à béton Ø8 à Ø32.

Support d'ancrage :

- Béton normal armé ou non selon EN 206-1:2000
- Classe de résistance C20/25 à C50/60 selon la norme EN 206-1:2000
- Béton fissuré et non fissuré : M8 à M30, acier à béton Ø8 à Ø32.

Plage de température :

- I: 40 °C à +40 °C (température max. à long terme +24 °C et température max. à court terme +40 °C)
- II: 40 °C à +80 °C (température max. à long terme +50 °C et température max. à court terme +80 °C)
- III: 40 °C à +120 °C (température max. à long terme +72 °C et température max. à court terme +120 °C)

Conditions d'application (conditions environnementales) :

- Eléments en acier électro zingué soumis à une ambiance intérieure sèche (acier électro-zingué, acier inoxydable ou acier hautement résistant à la corrosion).
- Eléments en extérieur (y compris atmosphère industrielle et à proximité de la mer) ou dans des locaux humides, pour autant que les conditions ambiantes ne soient pas particulièrement agressives (acier inoxydable ou acier à haute résistance à la corrosion).
- Eléments à l'extérieur et dans des locaux humides, pour autant que les conditions ambiantes ne soient pas particulièrement agressives (acier à haute résistance à la corrosion).
 - Remarque: De telles conditions particulièrement agressives sont par exemple immersion alternée et continue dans l'eau de mer ou zone soumise à des aspersions d'eau de mer, atmosphère contenant du chlore dans les piscines couvertes ou atmosphère soumise à pollution chimique extrême (p. ex. à proximité d'installations de désulfuration de gaz et fumées ou dans des tunnels routiers avec salage l'hiver).

Dimensionnement:

- Les calculs vérifiables et les dessins d'exécution doivent être exécutés en tenant compte des charges devant être ancrées. Sur les dessins d'exécution, la position de la cheville (par exemple, position de la cheville par rapport à l'armature ou aux supports, etc.) doit être indiquée.
- La conception des ancrages s'effectue sous la responsabilité d'un ingénieur expert en ancrages et constructions en béton
- La conception des ancrages sous charges statiques et quasi-statiques est effectuée conformément à :
 - EOTA Technical Report TR 029 "Design of bonded anchors", version septembre 2010 ou
 - CENITS 1992-4:2009
- La conception des ancrages sous l'action sismique (béton fissuré) s'effectue conformément à :
 - EOTA Technical Report TR 045 "Design of Metal Anchors under Seismic Action", version février 2013
 - Les ancrages doivent être disposés à l'extérieur des zones critiques (par ex. : joints en plastique) de la structure en béton.
 - Un montage à distance ou le montage sur couche de mortier n'est pas autorisé pour les impacts sismiques.

Pose:

- Béton sec ou humide : M8 à M30, acier à béton Ø8 à Ø32.
- Trou de forage rempli d'eau (pas d'eau de mer) : M8 à M16, acier à béton Ø8 à Ø16.
- Fabrication du trou de forage par marteau perforateur ou marteau piqueur.
- Les installations au plafond sont permises.
- Pose par un personnel suffisamment qualifié, sous la surveillance du conducteur des travaux.

Système d'injection VMU plus pour béton	
Usage prévu	Annexe B1
Spécifications	

797579 15 8 06 01-496/15



Tableau B1 : Caractér	istiques	s de m	ontage	et de	a chev	ville, tiç	ge d'an	crage		
Tige d'ancrage			М8	M10	M12	M16	M20	M24	M27	M30
Diamètre nominal du foret	do =	[mm]	10	12	14	18	24	28	32	35
Profondeur d'ancrage	h _{ef,min} =	[mm]	60	60	70	80	90	96	108	120
effective	h _{ef,max} =	[mm]	160	200	240	320	400	480	540	600
Trou de passage dans l'élément à raccorder	d _f ≤	[mm]	9	12	14	18	22	26	30	33
Diamètre de la brosse	d₀	[mm]	12	14	16	20	26	30	34	37
Couple	T _{inst} ≤	[mm]	10	20	40	80	120	160	180	200
Engisseur de la nièce	t _{fix,min} >	[mm]					0			
Epaisseur de la pièce d'adaptation	t _{fix, max} <	[mm]				15	00			
Epaisseur minimale du composant	h _{min}	[mm]	he	+ 30 mn > 100 mm	n	_	- 1	n _{ef} + 2d ₀		
Entraxe minimal	Smin	[mm]	40	50	60	80	100	120	135	150
Distance au bord minimale	Cmin	[mm]	40	50	60	80	100	120	135	150

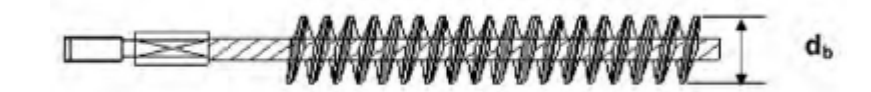
Tableau B2 : Caractéristiques de montage et de la cheville, acier à béton

Acier à béton			Ø 8	Ø 10	Ø 12	Ø 14	Ø 16	Ø 20	Ø 25	Ø 28	Ø 32
Diamètre nominal du foret	d _o =	[mm]	12	14	16	18	20	24	32	35	40
Profondeur d'ancrage	h _{ef,min}	[mm]	60	60	70	75	80	90	100	112	128
effective réduite	h _{ef,max} =	[mm]	160	200	240	280	320	400	480	540	640
Diamètre de la brosse	d _b	[mm]	14	16	18	20	22	26	34	37	41,5
Epaisseur minimale du composant	h_{\min}	[mm]	h _{ef} + ≥ 100 n	30 mm nm				h _{ef} + 20	lo		
Entraxe minimal	Smin	[mm]	40	50	60	70	80	100	125	140	160
Distance au bord minimale	Cmin	[mm]	40	50	60	70	80	100	125	140	160

Système d'injection VMU plus pour béton	
Usage prévu Données de pose	Annexe B2



Brosse métallique



Tige d'ancrage	Acier à béton	d₀ Ø du foret	d₀ Ø des brosses	d _{b,mln} min. Ø des brosses	Adaptateur d'injection
[mm]	[mm]	[mm]	[mm]	[mm]	[-]
M8		10	12	10,5	
M10	8	12	14	12,5	
M12	10	14	16	14,5	Aucun
	12	16	18	16,5	adaptateur d'injection
M16	14	18	20	18,5	nécessaire
	16	20	22	20,5	
M20	20	24	26	24,5	VM-IA 24
M24		28	30	28,5	VM-IA 28
M27	25	32	34	32,5	VM-IA 32
M30	28	35	37	35,5	VM-IA 35
	32	40	41,5	40,5	VM-IA 40





Pompe soufflante (volume 750ml) Diamètre du foret (d₀): 10 mm à 20 mm, Profondeur d'ancrage (h_{ef}): jusqu'à 240mm, dans le béton non fissuré Pistolet à air comprimé recommandé (min 6 bars) Toutes applications



Adaptateur d'injection pour installation au plafond ou horizontale Diamètre du foret (do) : 24 mm à 40 mm

Système d'injection VMU plus pour béton

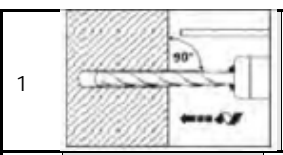
Annexe B3

Usage prévu

Accessoires de nettoyage et d'installation



Instructions d'installation



Créer le trou en roto-percussion avec le diamètre de foret prescrit (tableau B1 ou tableau B2) et la profondeur de trou sélectionnée. Pour un avant-trou, il faut remplir le trou au mortier.

Attention! Avant de nettoyer le trou, enlever l'eau stagnante!



Nettoyage à l'air comprimé :

Soufflage complet du trou à l'air comprimé depuis le fond du trou (minimum 6 bar). Si les trous sont profonds, utiliser des extensions.



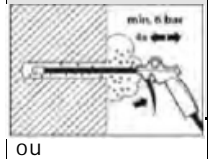
Nettoyage manuel:

Béton non fissuré: Diamètre du trou < 20mm et profondeur d'ancrage < 240mm Béton fissuré : M12, M16, Ø12, Ø14, Ø16 et profondeur d'ancrage ≤ 240 mm Souffler le trou complètement depuis le fond du trou 4x. Utiliser la pompe de soufflage.



Brossage du trou 4 x avec une perceuse sans fil ou une perceuse à l'aide d'une brosse métallique appropriée conf. au tableau B3 (le diamètre de brosse minimal d_{b,min} doit être respecté et vérifié).

Pour les trous profonds, utiliser une extension de brossage.



Nettoyage à l'air comprimé :

Soufflage complet du trou depuis le fond du trou 4x (min 6 bar). Pour les trous profonds, utiliser des extensions.



Nettovage manuel:

Béton non fissuré : Diamètre du trou < 20mm et profondeur d'ancrage ≤ 240mm

Béton fissuré : M12, M16, Ø12, Ø14, Ø16 et profondeur d'ancrage ≤ 240 mm. Soufflage complet du trou depuis le fond du trou 4x. Utiliser la pompe de soufflage.

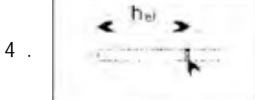


Après le nettoyage, le trou doit être protégé d'un nouvel encrassement de façon appropriée jusqu'à l'injection du mortier. Le cas échéant, le nettoyage doit être répété immédiatement après l'injection du mortier. L'arrivée d'eau ne doit pas entraîner un nouvel encrassement du trou.



3.

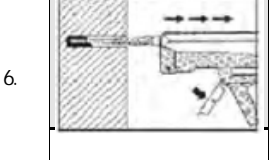
Visser solidement le mélangeur statique fourni sur la cartouche et insérer la cartouche dans un pistolet applicateur approprié. Couper le clip du film tubulaire avant l'utilisation. Le mélangeur statique doit être renouvelé à chaque interruption de travail supérieure au temps de traitement recommandé (tableau B4 ou tableau B5) et à chaque nouvelle cartouche.



Avant d'injecter le mortier, marquer la profondeur d'ancrage nécessaire sur la tige d'ancrage.



L'écoulement de mortier n'est pas adapté à la fixation de la tige d'ancrage. Par conséquent, rejeter l'écoulement jusqu'à ce qu'un mélange de couleur grise uniforme soit ajusté, mais avec 3 courses complètes., Pour les emballages de film tubulaire, il faut rejeter 6 courses complètes.



Remplir le trou nettoyé d'env. 2/3 de mortier de liaison depuis le fond du trou. Une rétraction lente du mélangeur statique du trou empêche la formation d'inclusions d'air. Utiliser une extension de mélangeur adaptée pour les profondeurs d'ancrage supérieures à 190 mm. Pour l'installation horizontale ou au plafond, utiliser de préférence des adaptateurs d'injection conformément à l'annexe B3 et aux extensions de mélangeur. Respecter les temps de traitement relatifs à la température (tableau B4 ou B5).

Système d'injection VMU plus pour béton

Usage prévu Instructions d'installation **Annexe B4**



Instructions d'installation (suite)

7



Elément de fixation avec de légers mouvements rotatifs jusqu'à la profondeur d'ancrage spécifiée.

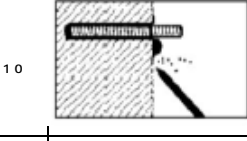
La tige d'ancrage doit être exemptes de saleté, graisse, et huile.

8.

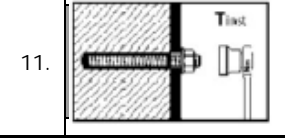
Une fois l'ancre installée, l'espace annulaire doit être rempli entièrement de mortier. Si aucun mortier n'apparaît à la surface du béton, la tige d'ancrage doit être retirée immédiatement et recommencer à partir de l'étape 6. Pour l'installation au plafond, l'ancre doit être fixée (par ex. cales en bois).



Le temps de durcissement indiqué doit être respecté. Ne pas déplacer ni charger l'ancre pendant le temps de durcissement. (voir tableau B4 ou B5).



Retirer le mortier qui s'est échappé.



Après durcissement complet, la pièce d'adaptation peut être montée avec le couple admissible T_{inst} (tableau B1). L'écrou doit être serré avec une clé dynamométrique étalonnée.

Système d'injection VMU plus pour béton

Usage prévu Instructions d'installation (suite) **Annexe B5**



Tableau B4: Temps de traitement maximal et temps de durcissement minimal, VMU plus

Ter	mpérature béton	Temps de traitement maximal	Temps de durcissement minimal dans le béton sec ¹⁾
- 10°C	à -6°C	90 min ²⁾	24 h ²⁾
- 5°C	à -1°C	90 min	14 h
0°C	à +4°C	45 min	7 h
+ 5°C	à +9°C	25 min	2 h
+ 10°C	à +19°C	15 min	80 min
+ 20°C	à + 29°C	6 min	45 min
+ 30°C	à +34°C	4 min	25 min
+ 35°C	à +39°C	2 min	20 min
	+ 40°C	1,5 min	15 min
Températ	ure de la cartouche	+ 5°	C à + 40°C

¹⁾ Les temps de durcissement dans le béton humide doivent être doublés.

Tableau B5 : Temps de traitement maximal et temps de durcissement minimal, VMU plus Polar

Ten	npérature béton	Temps de traitement maximal	Temps de durcissement minimal dans le béton sec
- 20°C	à - 16°C	75 min	24 h
- 15°C	à -11°C	55 min	16 h
- 10°C	à -6°C	35 min	10 h
- 5°C	à -1°C	20 min	5 h
0°C	à +4°C	10 min	2,5 h
+ 5°C	à +9°C	6 min	80 min
	+10°C	6 min	60min
Températu	ıre de la cartouche	- 20°	C à + 10°C

¹⁾ Les temps de durcissement dans le béton humide doivent être doublés.

Système d'injection VMU plus pour béton

Usage prévu
Temps de traitement et de durcissement

Annexe B6

297579.15 8.06.01-496/15

²⁾ La température de la cartouche doit être d'au moins + 15°C.



Tableau C1 : Vale	eurs caractéristique caction dans le bo			d'ancr	age e	en cas	de cc	ontraii	nte		
Tige d'ancrage				M8	M10	M12	M16	M20	M24	M27	M30
Rupture de l'acier											
Capacité de charge car	actéristique	N Rk,s	[kN]				As	• f _{uk}			
Rupture combinée par	extraction et éclaten	nent du b	éton								
Capacité de charge car	actéristique de la liais	on dans le	e béton fiss	suré C2	0/25						
Plage de température I :	béton sec et humide	TRk.cr	[N/mm ²]	4,0	5,0	5,5	5,5	5,5	5,5	6,5	6,5
40°C/24°C	trou de forage rempli d'eau	TRk.cr	[N/mm ²]	4,0	4,0	5,5	5,5		non admissible		
Plage de température II :	béton sec et humide	TRk.cr	[N/mm ²]	2,5	3,5	4,0	4,0	4,0	4,0	4,5	4,5
80°C/50°C	trou de forage rempli d'eau	TRk.cr	[N/mm ²]	2,5	3,0	4,0	4,0		non ad	lmissible	ı
Plage de température	béton sec et humide	TRk.cr	[N/mm ²]	2,0	2,5	3,0	3,0	3,0	3,0	3,5	3 5
III : 120°C/72°C	trou de forage rempli d'eau	TRk.cr	[N/mm ²]	2,0	2,5	3,0	3,0	non admissible		1	
			C25/30				1	,02			
			C30/37					,04			
Facteurs d'augmentation	pour T _{Rk.cr}		C35/45					,07			
•		Ψ	C40/50 C45/55					,08 ,09			
			C45/55 C50/60					,09 ,10			
Facteur selon CEN/TS	1992-4-5	k8	[-]					7,2			
Eclatement du béton			-								
Facteur selon CEN/TS	1992-4-5	k _{or}	[-]					7,2			
Distance au bord minima	ale	C _{CI,N}	[mm]				1,	5 h _{ef}			
Entraxe		S _{cr,N}	[mm]					0 h _{ef}			
Coefficient de sécurité de (béton sec et hun		Y ₂ = y _{inst}	[-]	1,0				1,2			
Coefficient de sécurité d'installation (trou de fora	age	Y ₂ = y _{inst}	[-]		1	,4			non ad	lmissible	!

Système d'injection VMU plus pour béton

Performances

Alerte caractéristique pour **tiges d'ancrage** en cas de **contrainte de traction** dans le **béton fissuré**

Annexe C1



NRAS et éclatement dans le béton no et TRAD rage au TRAD rage au TRAD rage au TRAD rage au TRAD	[N/mm²] [N/mm²] [N/mm²]	125 10 7,5 7,5 5,5 5,5 4,0	12 8,5 9 6,5 6,5	12 8,5 9 6,5	12 8,5 9 6,5	12 9	11 non ad 8,5	10 missible 7,5	9		
et éclatement lans le béton no et TRue rage au et TRue TRue trage au TRue TRue TRue TRue	[N/mm²] [N/mm²] [N/mm²] [N/mm²] [N/mm²] [N/mm²] [N/mm²]	10 7,5 7,5 5,5 5,5	8,5 9 6,5 6,5	8,5	12 8,5 9	12	non ad	missible			
lans le béton no et TRun	[N/mm²] [N/mm²] [N/mm²] [N/mm²] [N/mm²] [N/mm²] [N/mm²] [N/mm²]	10 7,5 7,5 5,5 5,5	8,5 9 6,5 6,5	8,5	8,5		non ad	missible			
et TRUD rage au TRUD rage au TRUD rage au TRUD et TRUD rage au TRUD et TRUD	[N/mm²] [N/mm²] [N/mm²] [N/mm²] [N/mm²] [N/mm²] [C25/30 C30/37	10 7,5 7,5 5,5 5,5	8,5 9 6,5 6,5	8,5	8,5		non ad	missible			
et TRUD rage au TRUD rage au TRUD rage au TRUD et TRUD rage au TRUD et TRUD	[N/mm²] [N/mm²] [N/mm²] [N/mm²] [N/mm²] [N/mm²] [C25/30 C30/37	10 7,5 7,5 5,5 5,5	8,5 9 6,5 6,5	8,5	8,5		non ad	missible			
et T _{Run} et T _{Run} et T _{Run} et T _{Run}	[N/mm²] [N/mm²] [N/mm²] [N/mm²] C25/30 C30/37	7,5 5,5 5,5	9 6,5 6,5	9	9	9					
rage au T _{Run} et T _{Run} rage au T _{Run}	[N/mm²] [N/mm²] [N/mm²] C25/30 C30/37	5,5 5,5	6,5 6,5	+	+ -	9	8,5	7,5	0.5		
et T _{Run} rage au T _{Run}	[N/mm ²] [N/mm ²] C25/30 C30/37	5,5	6,5	6,5	6,5				6,5		
rage T _{Ruo}	[N/mm ²] C25/30 C30/37						non admissible				
au T _{Rus}	C25/30 C30/37	4,0	F 0	6,5	6,5	6,5	6,5	5,5	5,0		
ψο	C30/37		5,0	non ad	non admissible						
ψε						,02					
ψς	U35/45		1,04 1,07								
Ψ	C40/50					,07 ,08					
	C45/55					,08					
	C50/60					,10					
k ₈	[-]					0,1					
k _{ua}	[-]				1	0,1					
CaN	[mm]		1,5 _{hef}								
Sa _z N	[mm]				3	,0 h _{ef}					
$C^{\alpha;\mathrm{sp}}$	[mm]	1,	0 . h _{ef} < 2	?•h _{ef} (2,5-	– <u>h)<</u> 2,4.h h _{ef}	nef					
S _{or,sp}	[mm]		,		2	C _{crisp}					
Y ₂ =Y	inst [-]	1,0				1,2					
n (trou			1	1,4			non ad	missible			
	$Y_2 = Y_1$ In (trou $Y_2 = Y_1$	$\begin{array}{c c} & C_{\sigma N} & [mm] \\ & S_{\sigma N} & [mm] \\ \\ & C_{\sigma, sp} & [mm] \\ \\ & S_{\sigma, sp} & [mm] \\ \\ & Y_2 = Y_{rist} & \begin{bmatrix} - \end{bmatrix} \end{array}$	$ \begin{array}{c c} C_{\sigma N} & [mm] \\ \hline S_{\tau ,N} & [mm] \\ \hline \\ C_{\tau ,sp} & [mm] \\ \hline \\ S_{\tau ,sp} & [mm] \\ \hline \\ Y_2 = Y_{inst} & [-] \\ \hline \\ n \ (trou \ Y_2 = Y_{inst} \ [-] \\ \hline \end{array} $	$ \begin{array}{c c} & C_{\sigma N} & [mm] \\ & s_{\sigma I,N} & [mm] \\ \\ \hline & C_{\tau I,Sp} & [mm] \\ \\ & S_{\tau I,Sp} & [mm] \\ \\ & Y_2 = Y_{inst} & [-] & 1,0 \\ \\ & \text{in (trou} & Y_2 = Y_{inst} & [-] & 1 \end{array} $	$ \begin{array}{c c} & C_{\sigma\!N} & [mm] \\ & s_{\sigma\!I\!N} & [mm] \\ \hline \\ & C_{\sigma\!I\!S\!P} & [mm] \\ \hline & S_{\sigma\!I\!S\!P} & [mm] \\ \hline & Y_2 \! = \! Y_{rist} & [-] \\ \hline & 1,0 \\ \hline \\ & 1,4 \\ \hline \end{array} $	$ \begin{array}{c cccc} & C_{\sigma N} & [mm] & & & & & & \\ & S_{\sigma LN} & [mm] & & & & & & \\ & & C_{\sigma LSP} & [mm] & & & & & & \\ & & S_{\sigma LSP} & [mm] & & & & & \\ & & & & & & & \\ & & & & & $	$ \begin{array}{c ccccccccccccccccccccccccccccccccccc$	$ \begin{array}{c ccccccccccccccccccccccccccccccccccc$	$ \begin{array}{c ccccccccccccccccccccccccccccccccccc$		



Tableau C3 : Valeurs caractéristiques pour tiges d'ancrage en cas de contrainte de cisaillemen
dans le béton fissuré et non fissuré

								Ī			
Tige d'ancrage			M8	M10	M12	M16	M20	M24	M27	M30	
Rupture de l'acier sans bras de levier		Г									
Résistance caractéristique au cisaillement	V _{Rk,s}	[kN]	0,5 • A _s • f _{uk}								
Facteur de ductilité selon CEN/TS 1992-4-5	[-]	0,8									
Rupture de l'acier avec bras de levier											
Moment de flexion caractéristique	Mº _{Rks}	M ^o _{Rks} [Nm] 1,2 • W _{el} • f _{uk}									
Eclatement du béton du côté non sollicité											
Facteur k selon TR 029 ou k ₃ selon CEN/TS 1992-4-5	k ₀	[-]				2	,0				
Chanfrein du béton											
Longueur d'ancrage effective	lf	[mm]			If	= min (h	nef; 8 d _{no}	m)			
Diamètre extérieur de la cheville	[mm]	8	10	12	16	20	24	27	30		
Coefficient de sécurité d'installation	[-]				1	0					

Système d'injection VMU plus pour béton	
Performances Valeurs caractéristiques pour tiges d'ancrage en cas de contrainte de cisaillement	Annexe C3



Tige d'ancrage				M8	M10	M12	M16	M20	M24	M27	M30
Contrainte de traction						<u> </u>	<u> </u>	_			
Rupture de l'acier											
Capacité de charge ca	ractéristique	NRk,s,seis	[kN]	A _s • f _{uk}							
Rupture combinée pa	r extraction et éclate	ement du l	péton								
Capacité de charge car	actéristique de liaisor	dans le b	éton C20/	25 à C5	50/60						
Plage de	béton sec et humide	T _{Rk,seis}	[N/mm ²]	2,5	3,1	3,7	3,7	3,7	3,8	4,5	4,5
température I : 40°C/24°C	trou de forage rempli d'eau	T _{Rkseis}	[N/mm]	2,5	2,5	3,7	3,7		non adr	nissible	
Plage de température	béton sec et humide	T _{Rkseis}	[N/mm]	1,6	2,2	2,7	2,7	2,7	2,8	3,1	3,1
II :	trou de forage rempli d'eau		[N/mm]	1,6	1,9	2,7	2,7		non adr	nissible	1
Plage de température	béton sec et humide	T _{Rkseis}	[N/mm ²]	1,3	1,6	2,0	2,0	2,0	2,1	2,4	2,4
III : 120°C/72°C	trou de forage rempli d'eau	T _{Rkseis}	[N/mm]	1,3	1,6	2,0	2,0		non adr	nissible	1
Facteur d'augmentation		ψc	[-]		<u>I</u>	<u>I</u>	i	0			
Coefficient de sécurité ((béton sec et hun		Y ₂ = Y _{inst}	[-]	1,0				1,2			
Coefficient de sécurité d'installation (trou de	/	Y ₂ = Y _{inst}	[-]		1	1,4			non adr	nissible	
Contrainte de cisaillem	nent										
Rupture de l'acier san	s bras de levier										
Résistance caractéristi	que au cisaillement	V _{Rk,seis}	[kN]				0,35	• A _s • f _{uk}			
Rupture de l'acier ave	ec bras de levier	ı									
Moment de flexion cara	actéristique	M ⁰ Rks,seis	[Nm]		Pas d	le perfor	mance d	éterminé	e (NPD)		
Système d'injec	tion VMU plus	pour bé	ton							_	
Performances									Annexe C4		



non admissible

Acier à béton				Ø8	Ø10	Ø12	Ø14	Ø16	Ø20	Ø25	Ø28	Ø3
Rupture de l'acier					l.	•	L	L	L	•	Į.	ı
Capacité de charge ca	ractéristique	$N_{Rk,s}$	[kN]					$A_s \bullet f_{uk}^{-1}$)			
Rupture combinée p	ar extraction et é	clatement	du béton									
Capacité de charge car	actéristique de la l	iaison dan	s le béton f	issuré	C20/25							
Plage de	béton sec et humide	T _{Rk,cr}	[N/mm ²]	4,0	5,0	5,5	5,5	5,5	5,5	5,5	6,5	6,5
température I : 40°C/24°C	trou de forage rempli d'eau	T _{Rk,cr}	[N/mm ²]	4,0	4,0	5,5	5,5	5,5	non admissi		missible	
Plage de température	béton sec et humide	T _{Rk,cr}	[N/mm]	2,5	3,5	4,0	4,0	4,0	4,0	4,0	4,5	4,5
II: 80°C/50°C	trou de forage rempli d'eau	T _{Rk,cr}	[N/mm ²]	2,5	3,0	4,0	4,0	4,0		non admissible		Э
Plage de température	béton sec et humide	T _{Rk,cr}	[N/mm]	2,0	2,5	3,0	3,0	3,0	3,0	3,0	3,5	3,5
III : 120°C/72°C	trou de forage rempli d'eau	$T_{Rk,cr}$	[N/mm ²]	2,0	2,5	3,0	3,0	3,0		non adı	missible	e
	_		C25/30					1,02				
			C30/37					1,04				
Facteurs d'augmentato	in pour T _{Rk cr}		C35/45					1,07				
g	1	ψС	C40/50 C45/55					1,08				
			C50/60					1,09 1,10				
Facteur selon CEN/TS	S 1992-4-5	k ₈	[-]					7,2				
Rupture du béton								•				
Facteur selon CEN/TS	S 1992-4-5	k _{cr}	[-]					7,2				
Distance du bord		C _{cr,N}	[mm]					1,5 h _{ef}				
Entraxe		S _{cr,N}	[mm]					3,0 h _{ef}				
Coefficient de sécurité d'installation (béton sechumide)		$Y_2 = Y_{inst}$	[-]	1,0				1	, 2			
Coefficient de sécurité	d'installation (trou						-					

 $^{^{1)}}f_{uk} = f_{tk} = k \cdot f_{yk}$

de forage rempli d'eau)

Système d'injection VMU plus pour béton	
Performances Alerte caractéristique pour acier à béton en cas de contrainte de traction dans le béton fissuré	Annexe C5

 $Y_2 = Y_{inst}$

[-]

1,4



Acier à béton				Ø8	Ø10	Ø12	Ø14	Ø16	Ø 20	Ø25	Ø28	Ø32		
Rupture de l'acier														
Capacité de charge car	actéristique	$N_{Rk,s}$	[kN]					$A_s \bullet f_{uk}^{-1}$	I)					
Rupture combinée pa	r extraction et éc	latement d	lu béton											
Capacité de charge car	actéristique de la l	iaison dans	s le béton	non fis	ssuré C	20/25								
Plage de température I : 40°C/24°C	béton sec et humide trou de forage	T _{Rk,ucr}	[N/mm ₂]	10	12	12	12	12	12	11	10	8,5		
40 0/24 0	rempli d'eau	T _{Rk,ucr}	[N/mm]	7,5	8,5	8,5	8,5	8,5		non ad	lmissibl	е		
Plage de température II :	béton sec et humide	T _{Rk,ucr}	[N/mm]	7,5	9	9	9	9	9	8,0	7,0	6,0		
80°C/50°C	°C/50°C trou de forage rempli d'eau béton sec et		[N/mm ₂]	5,5	6,5	6,5	6,5	6,5		non ad	lmissibl	е		
Plage de température	humide	T _{Rk,ucr}	[N/mm ²]	5,5	6,5	6,5	6,5	6,5	6,5	6,0	5,0	4,5		
III : 120°C/72°C	rempli d'eau T _{Rk,ucr} [N/mm] 4,0 5,0 5,0 5,0 5,0							non admissible						
			C25/30 C30/37	1,02 1,04										
Facteurs d'augmentation pour T _{Rk,cr}			C35/45											
		Ψ c	C40/50					1,07						
			C45/55					1,09						
Facteur selon CEN/TS	1992-4-5	14	C50/60					1,10 10,1						
Rupture du béton	7 1002 4 0		[-]					10,1						
Facteur selon CEN/TS		kur	[-]					10,1						
Distance du bord		CajN	[mm]	1,5 h _{ef}										
Entraxe		San	[mm]	3,0 h _{ef}										
Fissures		-												
Distance du bord		Саяр	[mm]			1,0.h∈	ef < 2.hef	(2,5- ^h - h _{ef}	·) < 2,4.l	h _{ef}				
Entraxe		S _{ar,sp}	[mm]		[Gra	ıb volir	reader	's atter	ition w	vith a o	reat			
Coefficient de sécurité d'installation (béton sec	et	$Y_2 = Y_{inst}$	[-]	1,0	quot	e from	the do	cumen	t'or use	e this s	pace			
Coefficient de sécurité de forage rempli d'eau)		$Y_2 = Y_{inst}$	[-]		to er	nphasi anJ w h	ze a ke ere on	y point the pag	To pl ge, just	lace thi N or agen	is text _P ipsible	!		
) $f_{uk} = f_{tk} = k \bullet f_{yk}$														
			éton											



 $I_f = min(h_{ef}; 8 d_{nom})$

16

1,0

20

25

28

32

TableauC7 : Valeurs caractéristiques pour acier à béton en cas de contrainte de cisaillement dans le béton fissuré et non fissuré Acier à béton Ø8 Ø 10 Ø 12 Ø 14 Ø 16 Ø 20 Ø 25 Ø 28 Ø 32 Rupture de l'acier sans bras de levier Résistance 0,50 • A_s • fuk₁₎ $V_{\mathsf{Rk},\mathsf{s}}$ [kN] caractéristique au cisaillement Facteur de ductilité k_2 [-] 8,0 selon CEN/TS 1992-4-5 Rupture de l'acier avec bras de levier 1,2 • W_{el} • f_{uk}1) Moment de flexion caractéristique M^0R_{ks} [Nm] Eclatement du béton du côté non sollicité Facteur k selon TR 029 ou k3 [-] 2,0 k(3) selon CEN/TS 1992-4-5 Chanfrein du béton

d'installation

Diamètre extérieur

Coefficient de sécurité

Longueur de cheville effective

Système d'injection VMU plus pour béton

Performances

Alertes caractéristiques pour **acier à béton** en cas de **contrainte de cisaillement** dans le **béton fissuré et non fissuré**

lf

 d_{nom}

 $Y_2 = Y_{inst}$

[mm]

[mm]

[-]

8

10

12

14

Annexe C7

 $^{^{1)}} f_{uk} = f_{tk} \!\! = k \bullet {_{f_{yk}}}$



Acier à béton				Ø8	Ø10	Ø12	Ø14	Ø16	Ø20	Ø25	Ø28	Ø32
Contrainte de traction												
Rupture de l'acier												
Résistance caractéristic	que à la traction	Neksseis	[kN]					A₅∙fu	k ¹⁾			
Rupture combinée pa	r extraction et é	clatement	du béton									
Capacité de charge car	actéristique de lia	aison dans	le béton (C20/25 à	à C50/6	0			_	_	,	
Plage de température	béton sec et humide	T _{Rk, seis}	[N/mm ²]	2,5	3,1	3,7	3,7	3,7	3,7	3,8	4.5	4,5
I : 40°C/24°C	rempli d'eau		[N/mm ²]	2,5	2,5 2,5 3,7 3,7 non add				dmissible			
Plage de température			[N/mm ²]	1,6	2,2	2,7	2,7	2,7	2,7	2,8	3,1	3,1
II, 80°C/50°C	80°C/50°C trou de forage rempli d'eau		[N/mm²]	1,6	1,9	2,7	2,7	2,7		non ad	missible	9
Plage de	béton sec et humide	T _{Rk, seis}	[N/mm]	1,3	1,6	2,0	2,0	2,0	2,0	2,1	2,4	2,4
température III : 120°C/72°C	trou de forage rempli d'eau	T _{Rk, seis}	[N/mm]	1,3	1,6	2,0	2,0	2,0	non admissib			9
Facteur d'augmentation	ψс	[-]					1,0					
Coefficient de sécurité o (béton sec et humide)	l'installation	Y ₂ =Y _{inst}	[-]	1,0					1,2			
Coefficient de sécurité (trou de forage rempli d		$Y_2 = Y_{inst}$	[-]	1,4 non admissible						Э		
Contrainte de cisailler									<u> </u>			
Rupture de l'acier san	s bras de levier											
Résistance caractéristic cisaillement	que au	V _{Rk,s,seis}	[kN]				0,35	5 • A _s • f	uk ¹⁾			
Rupture de l'acier ave	c bras de levier											
Moment de flexion cara	ctéristique	M ⁰ Rks,seis	[Nm]		Pa	as de p	erforma	nce dé	terminé	e (NPD))	
$f_{uk} = f_{tk} = k \bullet f_{yk}$												
.	ion VMU plu	ie nour	hátan									



Tableau C9: Déplacement sous contrainte de traction¹⁾ (tige d'ancrage)

Tige d'ancrage			M8	M10	M12	M16	M20	M24	M27	M30
Béton non fissuré C	20125									
Plage de température I :	Facteur ∂N0	[mm/(N/mm ²)]	0,021	0,023	0,026	0,031	0,036	0,041	0,045	0,049
40°C/24°C	Facteur ∂N∞	[mm/(N/mm ²)]	0,030	0,033	0,037	0,045	0,052	0,060	0,065	0,071
Plage de température II :	Facteur ∂N0	[mm/(N/mm ²)]	0,050	0,056	0,063	0,075	0,088	0,100	0,110	0,119
80°C/50°C	Facteur ∂N∞	[mm/(N/mm ²)]	0,072	0,081	0,090	0,108	0,127	0,145	0,159	0,172
Plage de température III :	Facteur ∂N0	[mm/(N/mm ²)]	0,050	0,056	0,063	0,075	0,088	0,100	0,110	0,119
120°C/72°C	Facteur ∂N∞ [mm/		0,072	0,081	0,090	0,108	0,127	0,145	0,159	0,172
Béton fissuré C20/25	;									
Plage de température I :	Facteur ∂N₀	[mm/(N/mm ²)]	0,0	090			0,	070		
40°C/24°C	Facteur ∂No∞	[mm/(N/mm ₂)]	0,	105			0,	105		
Plage de température II :	Facteur ∂N_0	[mm/(N/mm ²)]	0,2	219			0,	170		
80°C/50°C	Facteur ∂N _∞	[mm/(N/mm ²)]	0,:	255			0,	245		
Plage de température III :	Facteur ∂N_0	[mm/(Nmm ²]	0,2	219			0,	170		
120°C/72°C	Facteur ∂N _∞	[mm/(N/mm ²)]	0,2	255			0,	245		

¹⁾ Calcul du déplacement

Tableau C10 : Déplacement sous contrainte de cisaillement ¹⁾ (tige d'ancrage)

Tige d'ancrage			M8	M10	M12	M16	M20	M24	M27	M30		
Béton non fissuré	C20/25											
Toutes les plages de	Facteur ∂V₀	[mm/(kN)]	0,06	0,06	0,05	0,04	0,04	0,03	0,03	0,03		
	Facteur ∂V _∞	[mm/(kN)]	0,09	0,08	0,08	0,06	0,06	0,05	0,05	0,05		
Béton fissuré C20/	Béton fissuré C20/25											
Toutes les plages de	Facteur ∂V₀	[mm/(kN)]	0,12	0,12	0,11	0,10	0,09	0,08	0,08	0,07		
température	Facteur ∂V _∞	[mm/(kN)]	0,18	0,18	0,17	0,15	0,14	0,13	0,12	0,10		

¹⁾ Calcul du déplacement

 $\partial v_0 = Facteur 6v_0 . V$;

V: force transversale

agissante

 ∂v_{∞} = Facteur $6v_{\infty} \bullet V$;

Système d'injection VMU plus pour béton Performances Déplacements (tige d'ancrage) Annexe C9

 $[\]partial_{N0}$ = Facteur ∂_{No} . T_{i} contrainte d'adhérence agissant sous contrainte de traction

 $[\]partial_{N0}$ = Facteur ∂_{No} . T;



Acier à béton			Ø 8	Ø 10	Ø 12	Ø 14	Ø 16	Ø 20	Ø 25	Ø 28	Ø 32
Béton non fissuré C20/	25										
Plage de température I :	Facteur ∂ _{N0}	[mm/(N/mm ²)]	0,021	0,023	0,026	0,028	0,031	0,036	0,043	0,047	0,05
40°C/24°C	Facteur 6 _{N∞}	[mm/(N/mm ²)]	0,030	0,033	0,037	0,041	0,045	0,052	0,061	0,071	0,07
Plage de température II :	Facteur ∂ _{N0}	[mm/(N/mm ²)]	0,050	0,056	0,063	0,069	0,075	0,088	0,104	0,113	0,12
80°C/50°C	Facteur ∂ _{N∞}	[mm/(N/mm ²)]	0,072	0,081	0,090	0,099	0,108	0,127	0,149	0,163	0,18
Plage de température III :	Facteur ∂ _{N0}	[mm/(N/mm ²)]	0,050	0,056	0,063	0,069	0,075	0,088	0,104	0,113	0,12
120°C/72°C	Facteur ∂ _{N∞}	[mm/(N/mm ²)]	0,072	0,081	0,090	0,099	0,108	0,127	0,149	0,163	0,18
Béton fissuré C20/25											
Plage de température I :	Facteur ∂ _{N0}	[mm/(N/mm ²)]	0,0	090				0,070			
40°C/24°C	Facteur ∂ _{N∞}	[mm/(N/mm ₂)]	0,1	105				0,105			
Plage de température II :	Facteur ∂_{N0}	[mm/(N/mm ²)]	0,2	219				0,170			
80°C/50°C	Facteur ∂ _{N∞}	[mm/(N/mm ₂)]	0,2	0,255				0,245			
Plage de température III :	Facteur ∂ _{N0}	[mm/(N/mm ²)]	0,2	219				0,170	ı		
120°C/72°C	Facteur ∂ _{N∞}	[mm/(N/mm ²)]	0,2	255				0,245			

¹⁾ Calcul du déplacement

 ∂_{N0} = Facteur ∂_{ND} , T;

T: contrainte d'adhérence agissant sous contrainte de traction

 $\partial_{N^{\infty}} = Facteur \ 6_{N^{\infty}} \bullet T;$

Tableau C12 : Déplacement sous contrainte de traction¹) (acier à béton)

	Acier à béton			Ø8	Ø10	Ø12	Ø14	Ø16	Ø20	Ø25	Ø28	Ø32
	Béton non fissuré C20125											
	Toutes les plages de température	Facteur ∂vo	[mm/(kN)]	0,06	0,05	0,05	0,04	0,04	0,04	0,03	0,03	0,03
		Facteur ∂vo	[mm/(kN)]	0,09	0,08	0,08	0,06	0,06	0,05	0,05	0,04	0,04
	Béton fissuré C20/25											
	Toutes les plages de température	Facteur ∂vo	[mm/(kN)]	0,12	0,12	0,11	0,11	0,10	0,09	0,08	0,07	0,06
		Facteur ∂vo	[mm/(kN)]	0,18	0,18	0,17	0,16	0,15	0,14	0,12	0,11	0,10

^{1,} Calcul du déplacement

 ∂_{V_0} = Facteur 6_{V_0} . V;

V: force transversale

agissante

 $\partial_{v^\infty} = \text{Facteur } 6_{V^\infty} \bullet V \; ;$

Système d'injection VMU plus pour béton Performances Déplacements (acier à béton) Annexe C10